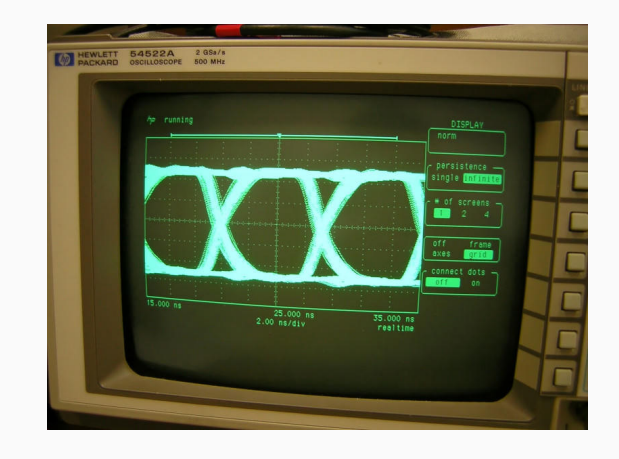
Sistemas de Comunicação I

Comunicação digital em banda base



Prof. Roberto Wanderley da Nóbrega

Instituto Federal de Santa Catarina

PAM digital

Introdução

A teoria PAM vista até agora permite que $\mathbf{u}[n]$ seja qualquer sequência real.

No caso do **PAM digital** considerado aqui, a sequência $\mathbf{u}[n]$ advém de uma sequência de índices $\mathbf{m}[n] \in [0:M)$ através de um *mapeamento inversível sem memória*.



Nomenclatura:

- *M*: **ordem** da modulação;
- m[n]: sequência de **mensagens**;
- $\mathbf{u}[n]$: sequência de **símbolos**.

O conjunto de todos os possíveis símbolos

$$\mathcal{U} = \{u_0, u_1, ..., u_{M-1}\},\$$

é chamado de constelação M-PAM.

Exemplo

Uma possível constelação 5-PAM é

$$u_0 = -3.2, \ u_1 = -2.1, \ u_2 = -0.7, \ u_3 = 1.5, \ u_4 = 2.6,$$

representada pelo diagrama abaixo.



Para comunicar a sequência de mensagens

$$\mathbf{m}[n] = [3, 4, 4, 0, \dots],$$

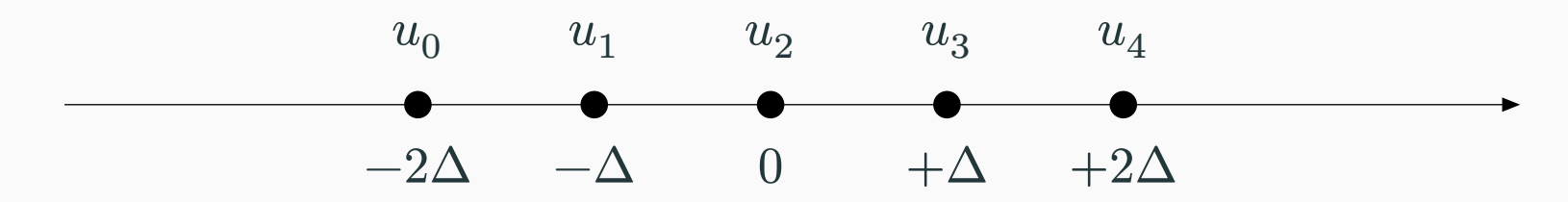
transmite-se pelo canal a sequência de símbolos

$$\mathbf{u}[n] = [1.5, 2.6, 2.6, -3.2, \dots],$$

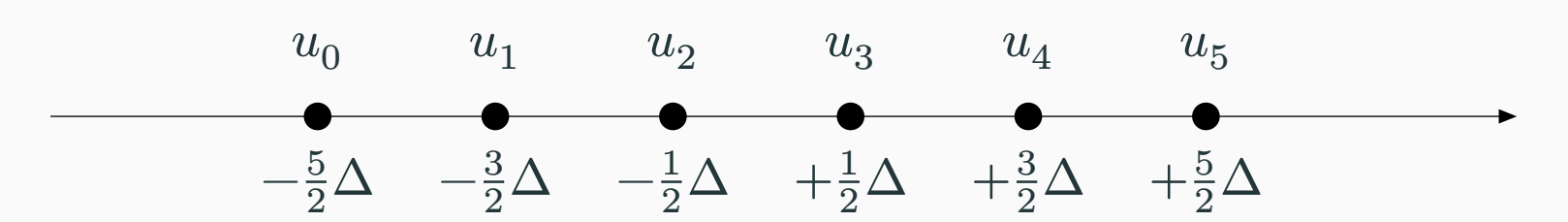
Constelação M-PAM uniforme

No caso mais comum de constelação M-PAM, os símbolos estão regularmente espaçados. O espaçamento entre dois símbolos consecutivos é denotado por Δ .

Exemplo: Constelação 5-PAM uniforme de média zero:



Exemplo: Constelação 6-PAM uniforme de média zero:



Média e energia de uma constelação

Suponha $\mathbf{m}[n] \stackrel{\mathrm{iid}}{\sim} p_{\mathbf{m}}$. A **média** de uma constelação $\mathcal{U} = \{u_0, u_1, ..., u_{M-1}\}$ é definida por

$$\mu_{\mathrm{s}} = \sum_{m=0}^{M-1} p_{\mathbf{m}}(m) u_m$$

e sua **energia de símbolo** é definida por

$$E_{\rm s} = \sum_{m=0}^{M-1} p_{\mathbf{m}}(m) u_m^2.$$

No caso particular de mensagens equiprováveis,

$$\mu_{\rm s} = \frac{1}{M} \sum_{m=0}^{M-1} u_m \quad {\rm e} \quad E_{\rm s} = \frac{1}{M} \sum_{m=0}^{M-1} u_m^2.$$

Suponha mensagens independentes e equiprováveis. Mostre que, para uma constelação M-PAM uniforme de média zero, a energia de símbolo é dada por

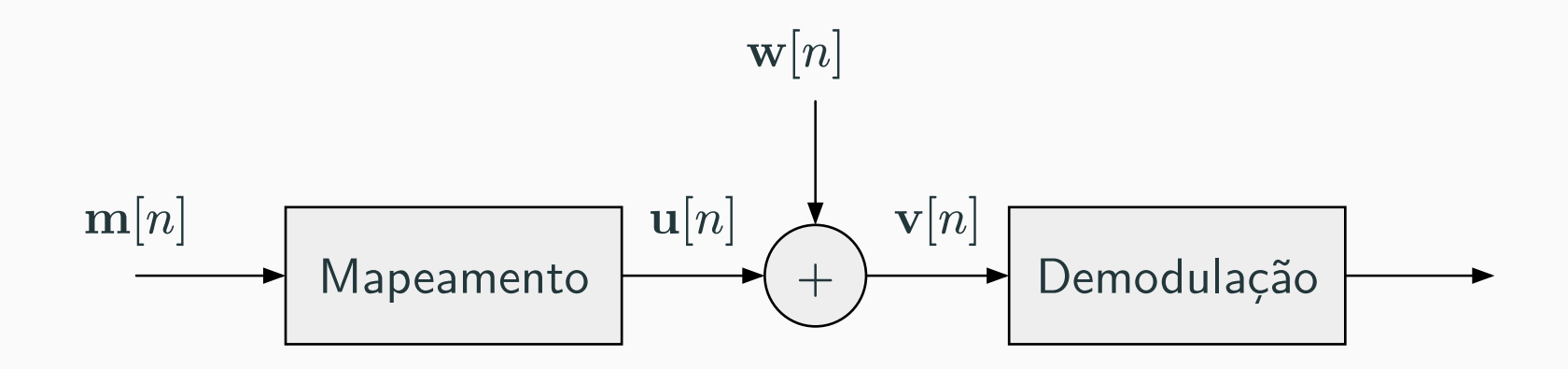
$$E_{\rm s} = \frac{\Delta^2}{12} (M^2 - 1),$$

onde Δ é o espaçamento entre os símbolos.

Demodulação

Modelo matemático

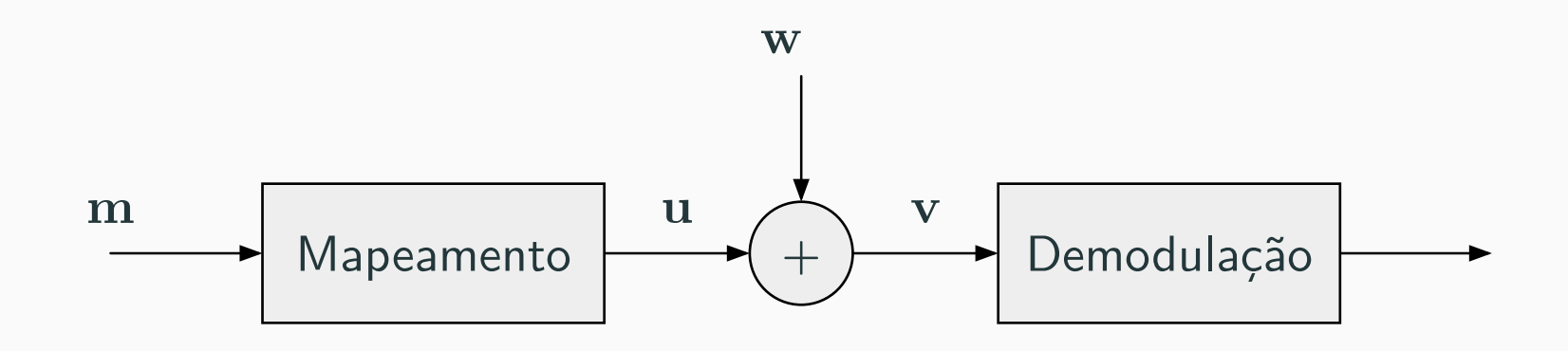
Considerando filtragem casada e pulso equivalente satisfazendo o critério de Nyquist, obtemos o modelo abaixo.



Lembre-se de que toda a parte de tempo contínuo foi abstraída no canal AWGN de tempo discreto.

Modelo matemático amostra-a-amostra

Se considerarmos $\mathbf{m}[n] \stackrel{\mathrm{iid}}{\sim} p_{\mathbf{m}}$ e, lembrando que $\mathbf{w}[n] \stackrel{\mathrm{iid}}{\sim} \mathrm{Normal}(0, N_0/2)$, o sistema pode ser analisado, sem perda de generalidade, *amostra-a-amostra*.



Para simplificar a notação: $\mathbf{m} \stackrel{\text{def}}{=} \mathbf{m}[n]$, $\mathbf{u} \stackrel{\text{def}}{=} \mathbf{u}[n]$, e assim por diante.

Demodulação soft

O problema da demodulação soft consiste em, dadas:

- lacktriangle a distribuição a priori $p_{\mathbf{m}}(m)$ da mensagem \mathbf{m} ; e
- a saída v do canal discreto;

determinar

• a distribuição a posteriori $p_{\mathbf{m}}(m \mid \mathbf{v})$ da mensagem \mathbf{m} dado \mathbf{v} .

Observações:

- Trata-se de um problema de inferência Bayesiana.
- A resposta também irá depender da constelação $\mathcal U$ e do valor de N_0 .

Considere um sistema de comunicação digital empregando 4-PAM uniforme com símbolos

$$u_0 = -3.0, \quad u_1 = -1.0, \quad u_2 = +1.0, \quad u_3 = +3.0.$$

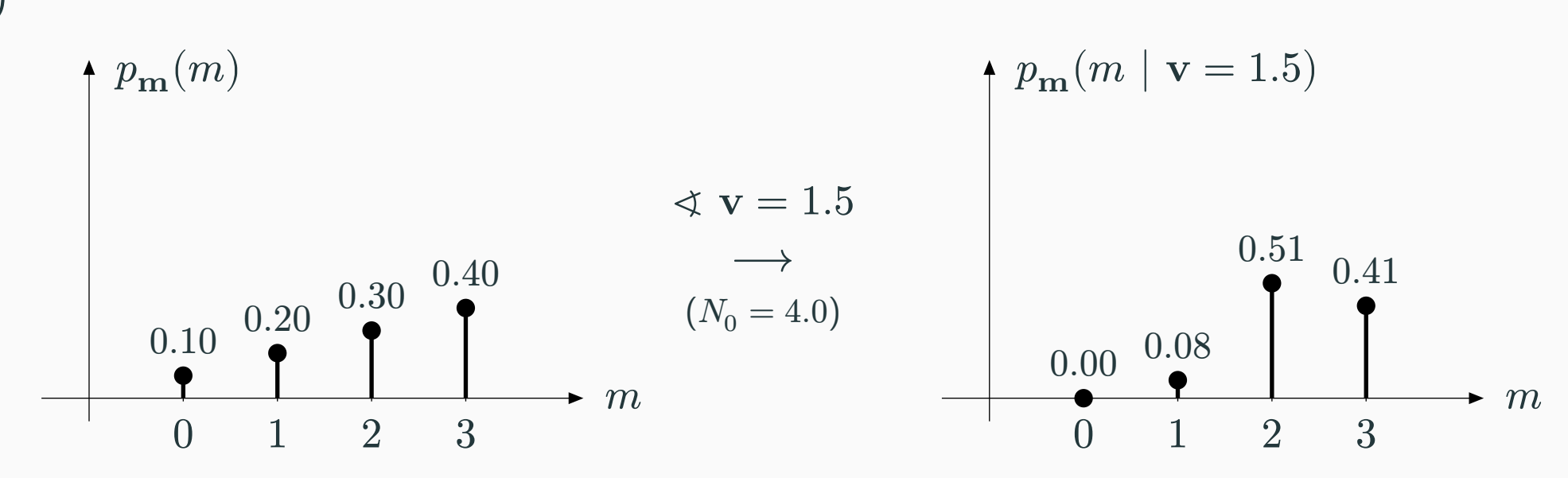
Suponha que a distribuição a priori seja

$$p_{\mathbf{m}} = [0.1, 0.2, 0.3, 0.4].$$

Determine a distribuição a posteriori dado que foi recebido ${\bf v}=1.5$ do canal AWGN discreto. Assuma (a) $N_0=4.0$; (b) $N_0=0.4$; (c) $N_0=40.0$.

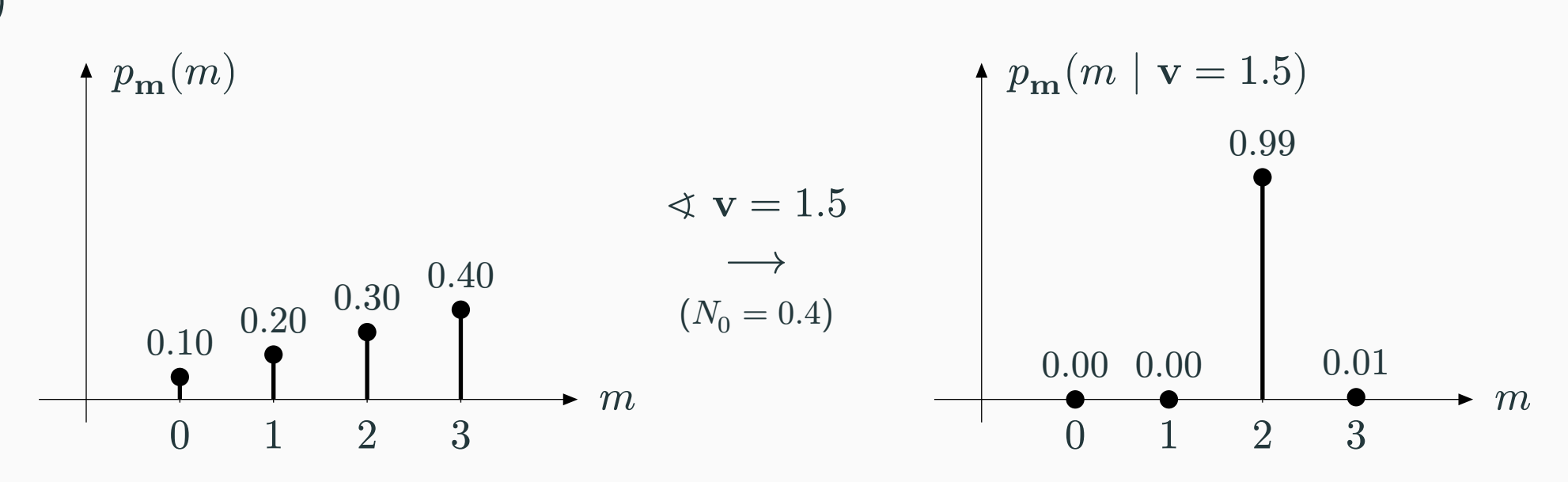
Resposta:

(a)



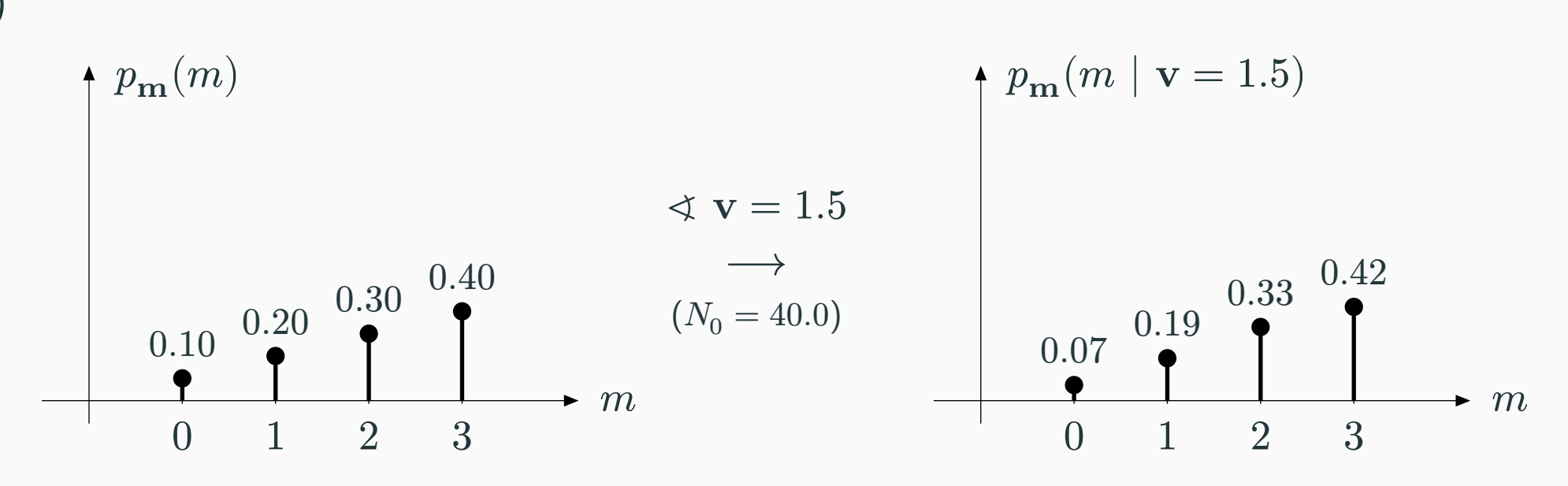
Resposta:

(b)



Resposta:

(c)



Determinação da distribuição a posteriori

Teorema. A distribuição a posteriori é determinada a partir de

$$p_{\mathbf{m}}(m \mid \mathbf{v} = v) \propto \exp\left[-\frac{(v - u_m)^2}{N_0}\right] p_{\mathbf{m}}(m).$$

Demonstração: Pelo teorema de Bayes,

$$p_{\mathbf{m}}(m \mid \mathbf{v} = v) = \frac{f_{\mathbf{v}}(v \mid \mathbf{m} = m) p_{\mathbf{m}}(m)}{f_{\mathbf{v}}(v)}.$$

O resultado segue sabendo que $(\mathbf{v} \mid \mathbf{m} = m) \sim \mathrm{Normal}(u_m, N_0/2)$, ou seja

$$f_{\mathbf{v}}(v \mid \mathbf{m} = m) = \frac{1}{\sqrt{2\pi N_0/2}} \exp\left[-\frac{(v - u_m)^2}{N_0}\right],$$

e que $f_{\mathbf{v}}(v)$ é constante com m.



Demodulação hard

O problema da **demodulação hard** consiste em, dadas:

- lacktriangle a distribuição a priori $p_{\mathbf{m}}(m)$ da mensagem \mathbf{m} ; e
- a saída v do canal discreto;

determinar

lacktriangle a mensagem $\hat{\mathbf{m}}$ mais provável a posteriori.

Observações:

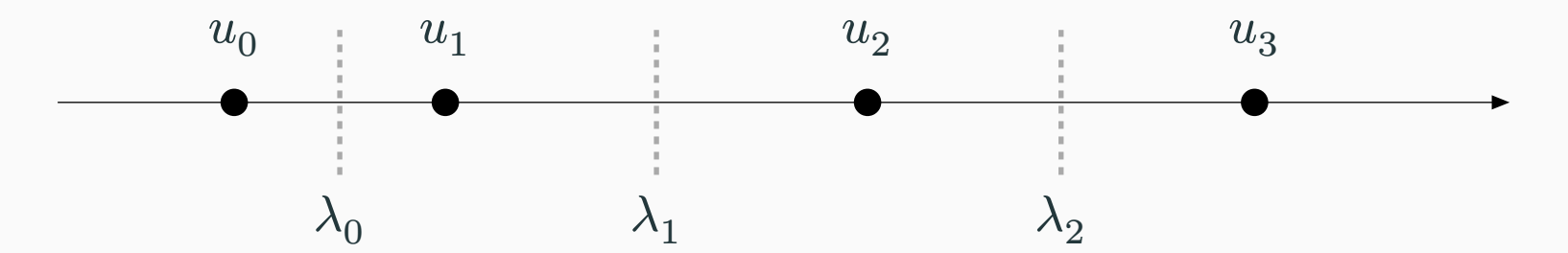
- Nesse caso, a demodulação hard também é chamada de máximo a posteriori (MAP).
- Dada a solução do problema de demodulação soft, a solução do problema de demodulação hard é trivial.

Caso com a priori uniforme

Teorema. Se \mathbf{m} é uniforme sobre [0:M), então a mensagem mais provável a posteriori é

$$\hat{\mathbf{m}} = \underset{m}{\operatorname{argmin}} |v - u_m|.$$

Em outras palavras, o demodulador seleciona o símbolo que está *mais próximo* (no sentido da distância euclidiana) da saída do canal.



Observações:

- O demodulador acima é chamado de **demodulador de mínima distância euclidiana**.
- ullet O demodulador de mínima distância euclidiana não faz uso do valor de N_0 .
- De modo geral (para a priori não uniforme), o demodulador de mínima distância euclidiana não é MAP.

Demonstração: Pelo teorema anterior, assumindo m uniforme,

$$p_{\mathbf{m}}(m \mid \mathbf{v} = v) \propto \exp\left[-\frac{(v - u_m)^2}{N_0}\right] p_{\mathbf{m}}(m) \propto \exp\left[-\frac{(v - u_m)^2}{N_0}\right].$$

Assim, maximizar $p_{\mathbf{m}}(m \mid \mathbf{v} = v)$ é equivalente a minimizar $|v - u_m|$.

Probabilidade de erro de símbolo

Definição

A probabilidade de erro de símbolo de um demodulador hard é definida por

$$P_{\rm s} = \Pr[\hat{\mathbf{m}} \neq \mathbf{m}].$$

Além de depender do demodulador, a probabilidade de erro de símbolo depende também da distribuição a priori $p_{\mathbf{m}}$, da constelação $\mathcal U$ e do valor de N_0 .

No que segue, iremos supor distribuição a priori uniforme e demodulador de mínima distância euclidiana (que é MAP, nesse caso). Por simplicidade, iniciaremos com o caso 2-PAM e, em seguida, abordaremos o caso M-PAM uniforme.

Probabilidade de erro para constelação 2-PAM

Teorema. A probabilidade de erro de símbolo do demodulador de mínima distância euclidiana, supondo mensagens equiprováveis e constelação dada por $\mathcal{U} = \{u_0, u_1\}$, é

$$P_{\rm s} = Q\left(\sqrt{\frac{\Delta^2}{2N_0}}\right)$$

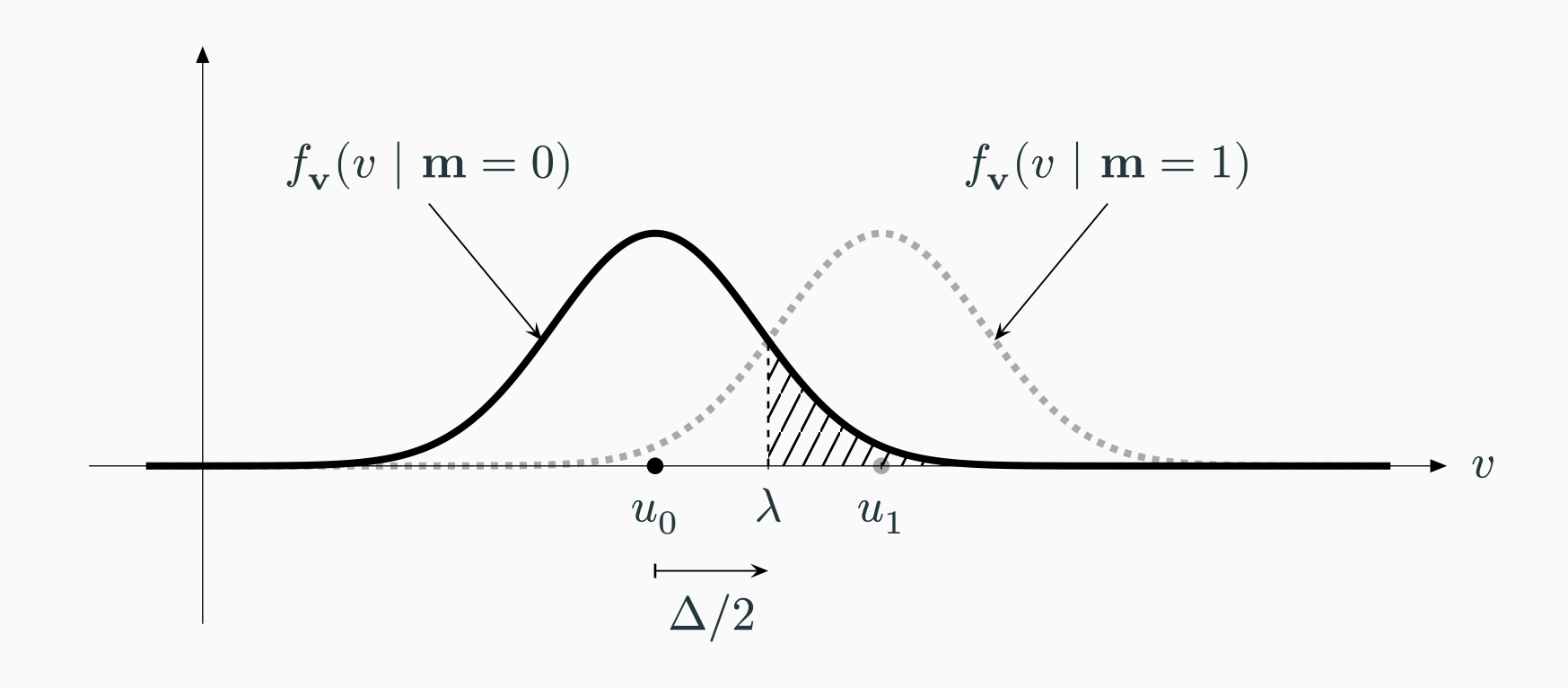
onde $\Delta = |u_1 - u_0|$ é a distância euclidiana entre os dois símbolos da constelação.

Observação: Dois casos particulares de importância são:

$$P_{\rm s} = Q \left(\sqrt{\frac{2E_{\rm s}}{N_0}} \right) \quad ({\rm polar}) \qquad {\rm e} \qquad P_{\rm s} = Q \left(\sqrt{\frac{E_{\rm s}}{N_0}} \right) \quad ({\rm unipolar}),$$

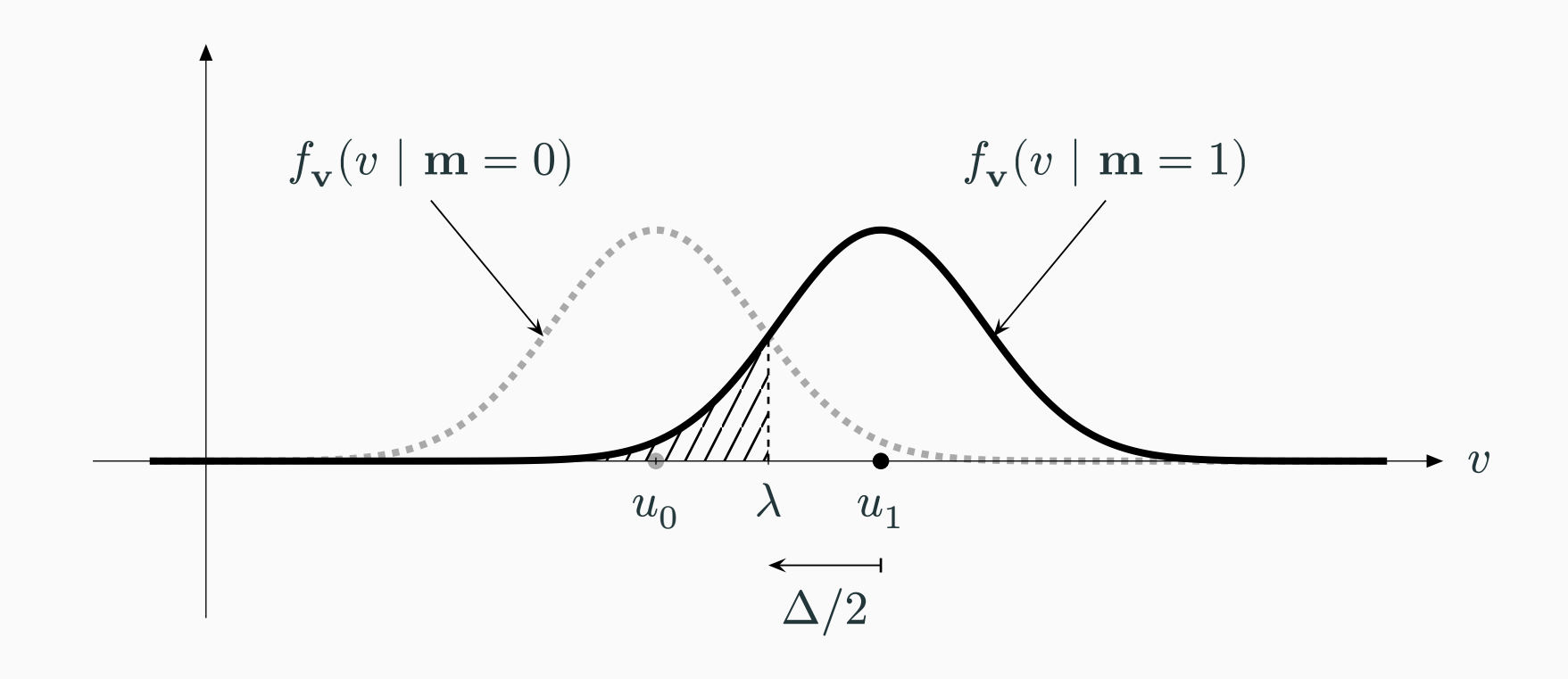
onde $E_{\rm s}=(u_0^2+u_1^2)/2$ é a energia média de símbolo.

Seja $\Delta = |u_1 - u_0|$ o espaçamento entre símbolos e $\lambda = (u_0 + u_1)/2$ o limiar de decisão.



Temos $(\hat{\mathbf{m}} \neq \mathbf{m} \mid \mathbf{m} = 0) \iff \mathbf{v} \geq \lambda \iff \mathbf{w} \geq \Delta/2$.

Seja $\Delta = |u_1 - u_0|$ o espaçamento entre símbolos e $\lambda = (u_0 + u_1)/2$ o limiar de decisão.



Temos $(\hat{\mathbf{m}} \neq \mathbf{m} \mid \mathbf{m} = 1) \iff \mathbf{v} \leq \lambda \iff \mathbf{w} \leq -\Delta/2$.

Pelo teorema da probabilidade total, e sabendo que as mensagens são equiprováveis,

$$P_{\mathrm{s}} = \Pr[\hat{\mathbf{m}} \neq \mathbf{m}] = \underbrace{\Pr[\hat{\mathbf{m}} \neq \mathbf{m} \mid \mathbf{m} = 0]}_{\Pr[\mathbf{w} \geq \Delta/2]} \underbrace{\Pr[\mathbf{m} = 0]}_{1/2} + \underbrace{\Pr[\hat{\mathbf{m}} \neq \mathbf{m} \mid \mathbf{m} = 1]}_{\Pr[\mathbf{w} \leq -\Delta/2]} \underbrace{\Pr[\mathbf{m} = 1]}_{1/2}.$$

Como w $\sim \text{Normal}(0, N_0/2)$, temos

$$\Pr[\mathbf{w} \ge \Delta/2] = \Pr[\mathbf{w} \le -\Delta/2] = Q\left(\frac{\Delta/2}{\sqrt{N_0/2}}\right) = Q\left(\sqrt{\frac{\Delta^2}{2N_0}}\right),$$

de onde segue o resultado.

- (a) Determine a probabilidade de erro de bit de um sistema de comunicação que transmite bits equiprováveis à taxa de $10\,\mathrm{kbit/s}$ utilizando código de linha polar NRZ com tensões $+2\,\mathrm{V}$.
- (b) Um sistema de comunicação transmite bits equiprováveis utilizando código de linha unipolar RZ com tensões 0 e $10\,\mathrm{V}$. Determine a máxima taxa de bits possível de modo que se tenha uma probabilidade de erro de bit de no máximo 1%.

Considere $N_0 = 200 \cdot 10^{-6} \, V^2 / Hz$.

- (a) Determine a probabilidade de erro de bit de um sistema de comunicação que transmite bits equiprováveis à taxa de $10\,\mathrm{kbit/s}$ utilizando código de linha polar NRZ com tensões $+2\,\mathrm{V}$.
- (b) Um sistema de comunicação transmite bits equiprováveis utilizando código de linha unipolar RZ com tensões 0 e $10\,\mathrm{V}$. Determine a máxima taxa de bits possível de modo que se tenha uma probabilidade de erro de bit de no máximo 1%.

Considere $N_0 = 200 \cdot 10^{-6} \, V^2 / Hz$.

Respostas:

- (a) $\mathcal{U} = \{-0.02, +0.02\}$ e $P_{\rm b} = 2.28\%$.
- (b) $\mathcal{U} = \{0, 0.0465\}$ e $R_{\rm b} = 23.1\,{\rm kbit/s}$.

Probabilidade de erro para constelação M-PAM uniforme

Teorema. A probabilidade de erro de símbolo do demodulador de mínima distância euclidiana, supondo mensagens equiprováveis e constelação M-PAM uniforme, é

$$P_{\rm s} = \frac{2(M-1)}{M} Q\left(\sqrt{\frac{\Delta^2}{2N_0}}\right),$$

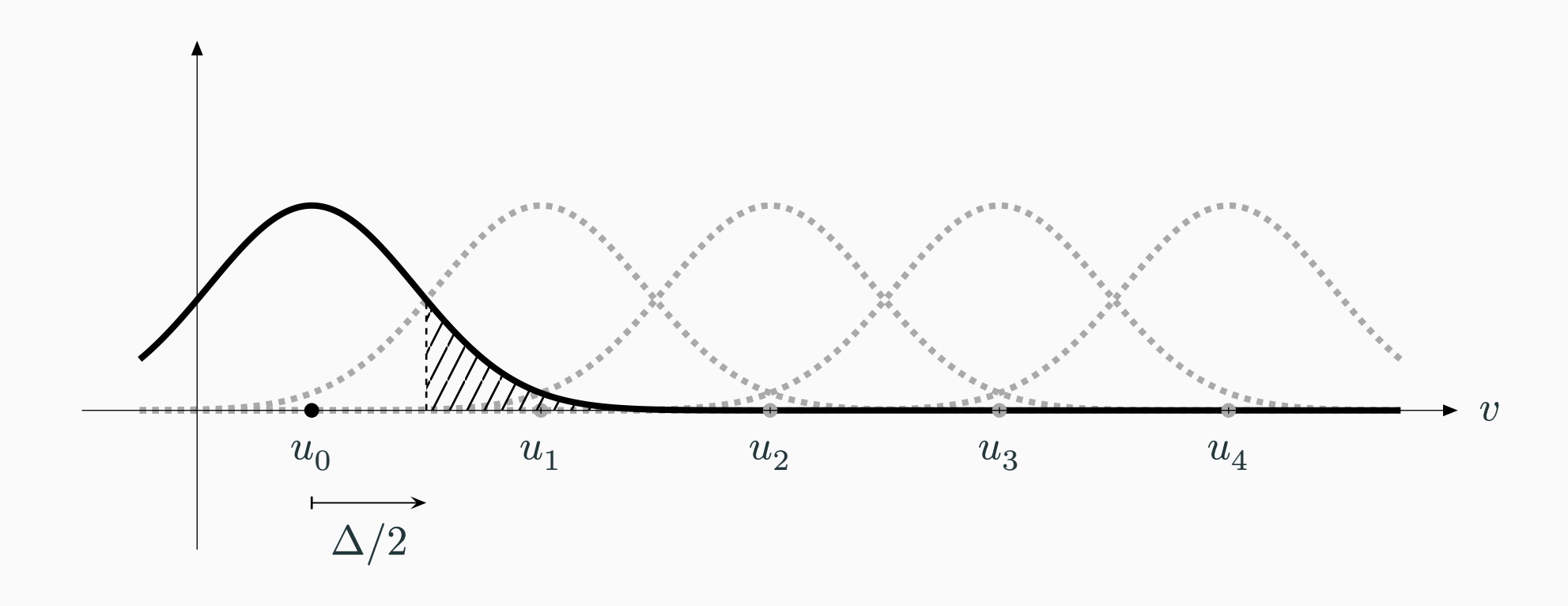
onde Δ é o espaçamento entre os símbolos.

Observação: Para o caso de média zero, temos

$$P_{\rm s} = \frac{2(M-1)}{M} Q \left(\sqrt{\frac{6E_{\rm s}}{(M^2-1)N_0}} \right), \label{eq:ps}$$

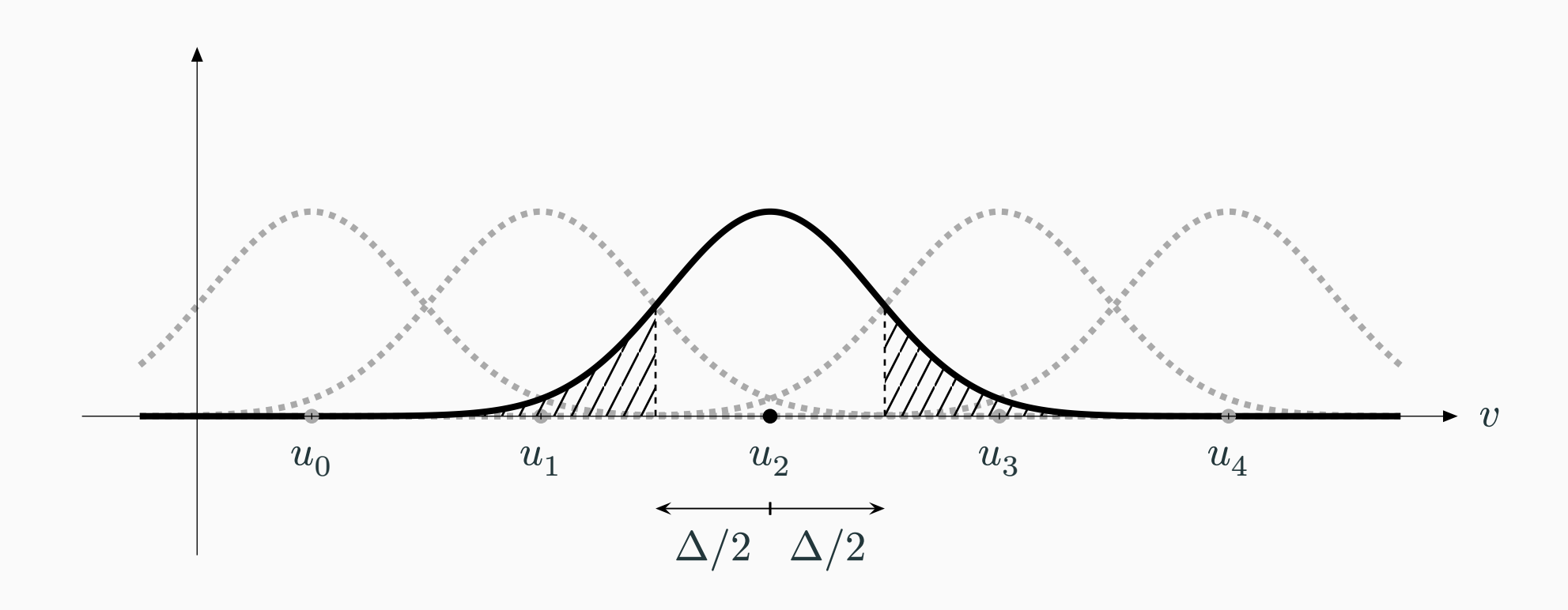
onde $E_{\rm s}$ é a energia média de símbolo.

Seja Δ o espaçamento entre os símbolos.



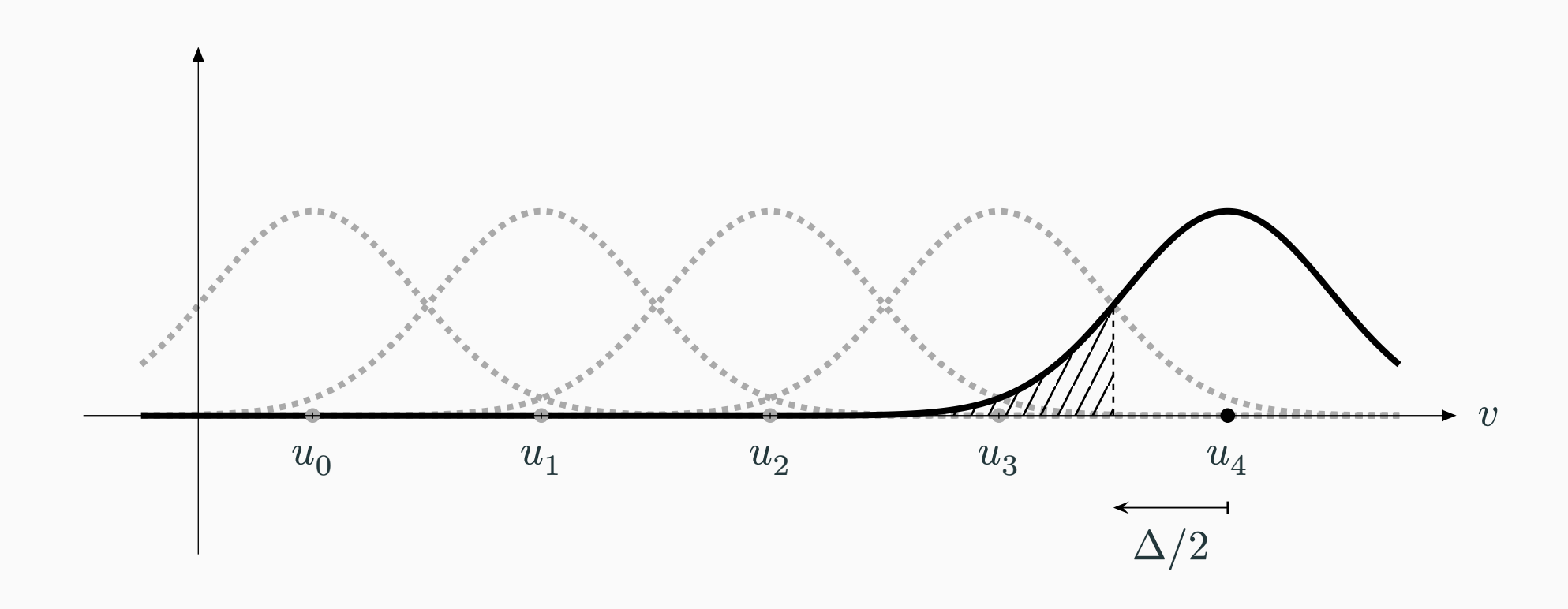
Para o símbolo mais à esquerda: $(\hat{\mathbf{m}} \neq \mathbf{m} \mid \mathbf{m} = 0) \Longleftrightarrow \mathbf{w} \geq \Delta/2$.

Seja Δ o espaçamento entre os símbolos.



Para os símbolos centrais: $(\hat{\mathbf{m}} \neq \mathbf{m} \mid \mathbf{m} = m) \Longleftrightarrow \mathbf{w} \leq -\Delta/2 \lor \mathbf{w} \geq \Delta/2$.

Seja Δ o espaçamento entre os símbolos.



Para o símbolo mais à direita: $(\hat{\mathbf{m}} \neq \mathbf{m} \mid \mathbf{m} = M - 1) \Longleftrightarrow \mathbf{w} \leq -\Delta/2$.

Temos:

$$(\hat{\mathbf{m}} \neq \mathbf{m} \mid \mathbf{m} = m) \Longleftrightarrow \begin{cases} \mathbf{w} \geq \Delta/2, & \text{para } m = 0, \\ \mathbf{w} \leq -\Delta/2 \vee \mathbf{w} \geq \Delta/2, & \text{para } m = 1, ..., M-2, \\ \mathbf{w} \leq -\Delta/2, & \text{para } m = M-1; \end{cases}$$

$$\Pr[\mathbf{w} \ge \Delta/2] = \Pr[\mathbf{w} \le -\Delta/2] = Q\left(\frac{\Delta/2}{\sqrt{N_0/2}}\right) = Q\left(\sqrt{\frac{\Delta^2}{2N_0}}\right).$$

Assim, pelo teorema da probabilidade total,

$$P_{\rm s} = \Pr[\hat{\mathbf{m}} \neq \mathbf{m}] = Q(\cdots)\frac{1}{M} + 2Q(\cdots)\frac{M-2}{M} + Q(\cdots)\frac{1}{M} = \frac{2(M-1)}{M}Q(\cdots),$$

de onde segue o resultado.

Determine a probabilidade de erro de símbolo de um sistema de comunicação que transmite símbolos equiprováveis à taxa de $250\,\mathrm{kbaud}$ utilizando PAM digital com pulso retangular NRZ de tensões $\pm 0.5, \pm 1.5, \pm 2.5 \pm 3.5\,\mathrm{V}$. Considere $N_0 = 800\cdot 10^{-9}\,\mathrm{V}^2/\mathrm{Hz}$.

Resposta:

$$\mathcal{U} = \{\pm 0.001, \pm 0.003, \pm 0.005, \pm 0.007\}$$
 e $P_{\rm s} = 9.96\%$.

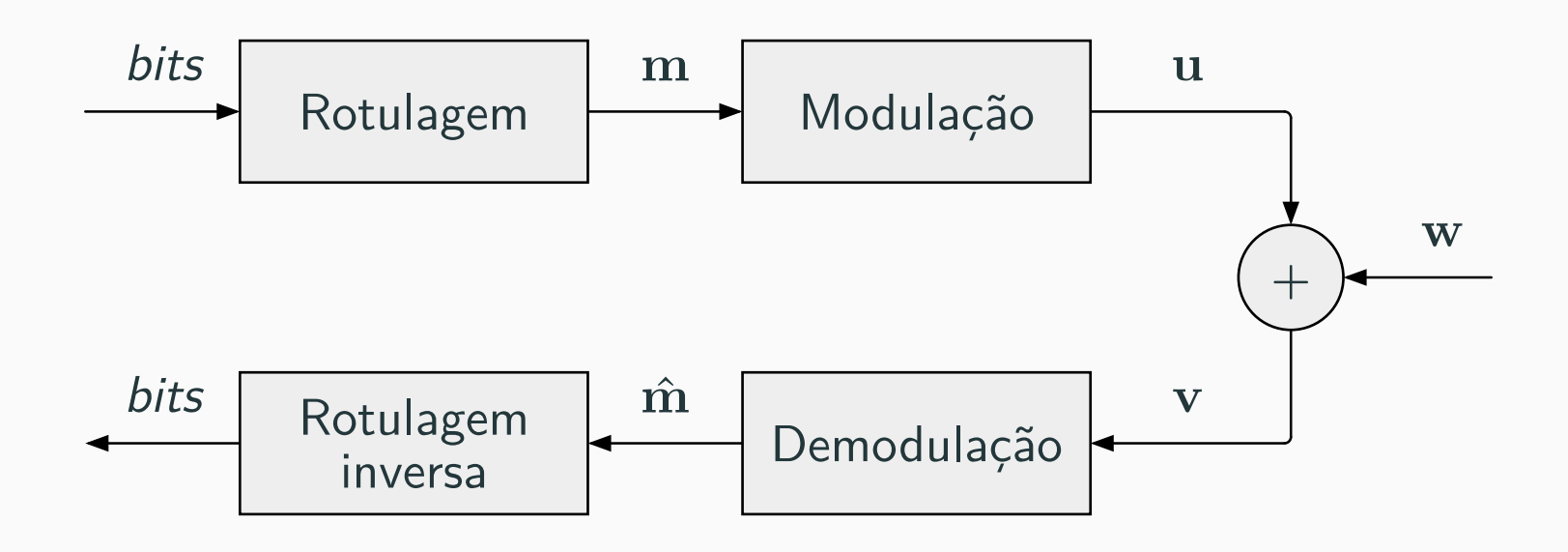
Transmissão de bits com M-PAM

Modelo matemático

Na prática, deseja-se comunicar bits, mesmo no caso M>2.

Quando a ordem da modulação é uma potência de dois, ou seja, $M=2^k$, cada mensagem é capaz de representar $k=\log_2 M$ bits.

No caso de demodulação hard, o modelo do sistema fica como abaixo.



Rotulagem natural

Na rotulagem natural, cada índice m é representado pela sua expansão binária posicional.

m	bits
0	000
1	001
2	010
3	011
4	100
5	101
6	110
7	111

Rotulagem espelhada (mapeamento Gray)

A rotulagem espelhada pode ser construída recursivamente.

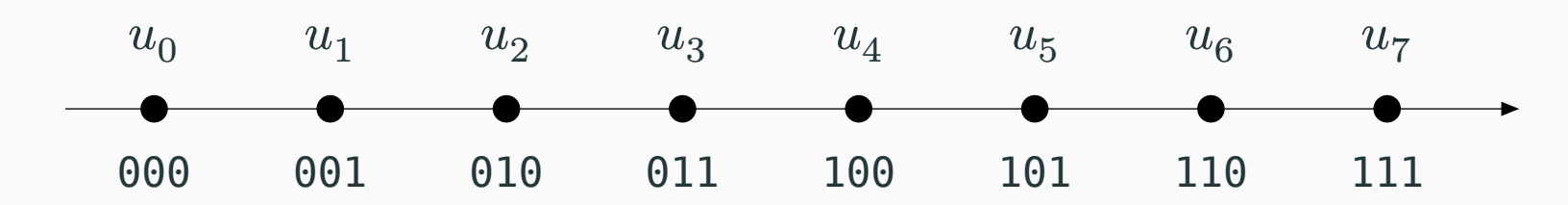
						116	DILS
					_	0	000
			m	bits	_	1	001
	m	bits	0	00		2	011
_	0	0	1	01		3	010
	1	1	2	11		4	110
			3	10		5	111
						6	101
						7	100

Propriedade: Símbolos vizinhos possuem rótulos binários que diferem de apenas um bit.

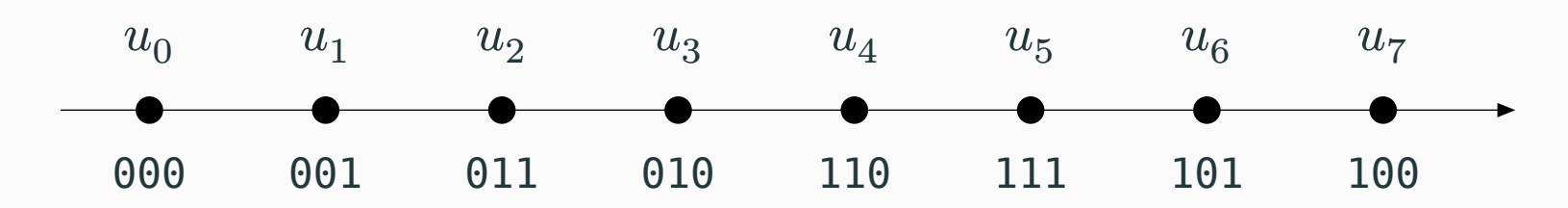
m

Comparação entre as rotulagens

Rotulagem natural



Rotulagem espelhada (Gray)



Relação entre grandezas de bits e grandezas de símbolos

O intervalo de bit e a intervalo de símbolo se relacionam por

$$T_{\mathrm{b}} = \frac{T_{\mathrm{s}}}{k}.$$

A taxa de bits e a taxa de símbolos se relacionam por

$$R_{\rm b} = kR_{\rm s}$$
.

A energia média de bit e a energia média de símbolo se relacionam por

$$E_{\mathrm{b}} = rac{E_{\mathrm{s}}}{k}.$$

Probabilidade de erro de bit

A probabilidade de erro de bit é definida por

$$P_{\mathbf{b}} = \frac{1}{k} \sum_{i=0}^{k-1} \Pr[\hat{\mathbf{b}}_i \neq \mathbf{b}_i]$$

e depende da rotulagem utilizada. No entanto, independentemente da rotulagem, temos

$$\frac{P_{\rm s}}{k} \le P_{\rm b} \le P_{\rm s}.$$

O limite inferior é aproximadamente alçancado no caso de rotulagem Gray e alta SNR:

$$P_{\rm b} pprox rac{P_{
m s}}{k}$$
 (Gray, alta SNR).

Determine as probabilidades de erro de símbolo e de bit de um sistema de comunicação que transmite bits equiprováveis à taxa de $200\,\mathrm{kbit/s}$ utilizando modulação 4-PAM com pulso retangular RZ de amplitudes ± 1 e $\pm 3\,\mathrm{V}$ e rotulagem Gray. Considere $N_0=10^{-5}\,\mathrm{V}^2/\mathrm{Hz}$.

Determine as probabilidades de erro de símbolo e de bit de um sistema de comunicação que transmite bits equiprováveis à taxa de $200\,\mathrm{kbit/s}$ utilizando modulação 4-PAM com pulso retangular RZ de amplitudes ± 1 e $\pm 3\,\mathrm{V}$ e rotulagem Gray. Considere $N_0=10^{-5}\,\mathrm{V}^2/\mathrm{Hz}$.

Resposta: $P_{\rm s}=0.238$ e $P_{\rm b}=0.119$.

Referências

Referências

- [1] R. G. Gallager, *Principles of Digital Communication*. Cambridge University Press, 2008.
- [2] S. Haykin, Communication Systems, 4th ed. John Wiley & Sons, 2001.
- [3] B. P. Lathi and Z. Ding, *Modern Digital and Analog Communication Systems*, 4th ed. Oxford University Press, 2009.
- [4] J. G. Proakis and M. Salehi, *Digital Communications*, 5th ed. McGraw Hill, 2008.